

با اسمه تعالی
دانشگاه آزاد اسلامی
واحد کرج

عنوان مقاله :
ارزیابی ترکیبات و فازهای موجود در پوشش‌های
نفوذی آلومینیم پلاتینیوم

پدیدآورنده :
محمد رضا عاشق گیلوان
مهندسی مواد - متالورژی صنعتی
کارشناس شرکت تولیدی و صنعتی سوپر اکتیو

۱۳۸۲ پائیز

آدرس : کرج - گوهردشت - کوی اتحاد - خ یخماهی - انتهای میثم
- روبروی باغ فاتح - پلاک ۴۱.

M-Ashegh@yahoo.com

چکیده :

درک عمیقتر تبدیل فاز که حین کار موتور توربینی گازی برای انتشار آلومینیم پلانتیوم رخ میدهد، تحقیقی سودمند خواهد بود. ترکیبات، فازها و زیرساختهای پوشش انتشاری Al.Pt با استفاده از تصویربرداری میکروسکوپ الکترونی، اسپکتروسکوپی انتشار انرژی، تجزیه اشعه X و ریزپروبها بررسی خواهد گردید. پوشش Al.Pt در شرایط پوشش داده شده و سپس از آزمون اکسیداسیون در دمای $982^{\circ}C$ ($1800^{\circ}F$) به مدت ۳۰۰۰ ساعت و دمای $1149^{\circ}C$ ($2100^{\circ}F$) به مدت ۱۰۰ ساعت و یک کوره القایی به طور ثابت آزمایش خواهد شد آزمایشها تغییرات فاز و ترکیبات را که حین انتشار در دمای بالا و فرآیند اکسیداسیون رخ میدهند، تعیین می‌نمایند. شناخت فازها و اجزاء، لایه غنی با لایه‌ای پوشش Al.Pt منجر به شناخت بیشتری در مورد ریز ساختار پوشش خواهد شد.

مقدمه (Introduction)

اجزاء و قطعات بخش داغ توربین گازی، نظیر پره‌ها، و فازها در معرض محیط احتراق دما بالا قرار دارند. احتراق به دلیل ایجاد جرقه مخلوط یک سوت و هوا رخ میدهد که محیط اکسیداسیون دمای بالا را به وجود می‌آورد. اکسیداسیون دمای بالا، واکنش شیمیایی بین اتمهای فلزی اجزاء و اکسیژن محیط گازی اطراف می‌باشد. قطعات بخش داغ از آلیاژهای پایه نیکل ساخته شده‌اند که خواص مکانیکی بسیار خوبی در دمای بالا داشته ولی مقاومت اکسیداسیون کافی را ندارند. بنابراین پوشش‌ها، به منظور محافظت اکسیداسیون به منظور افزایش عمر کاری اجزاء برای چند سال مورد نیاز می‌باشد.

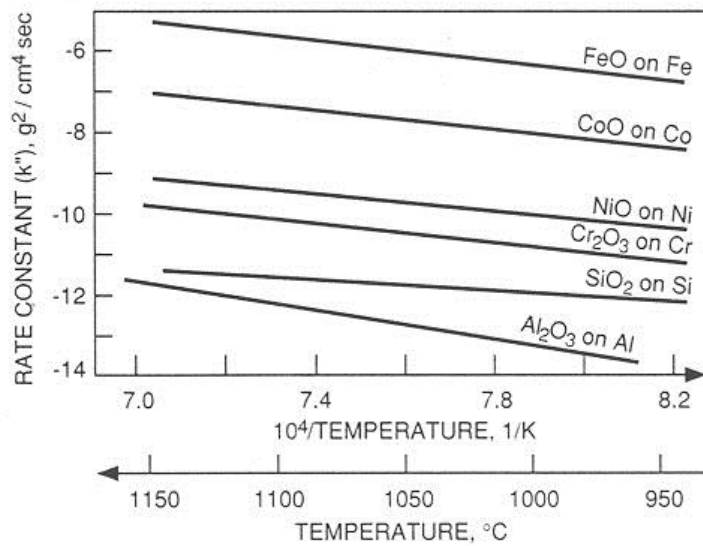
پوشش به عنوان یک لایه سطحی تعریف می‌گردد که قادر به بهبود یا در برخی موارد قادر به جلوگیری از واکنش بین سوپر آلیاژهای پایه نیکل با محیط اطراف باشد مقاومت اکسیداسیون یک ماده بستگی به قابلیت تشکیل رسوب اکسیدی محافظ آن دارد اگر رسوب اکسیدی که از قبل تشکیل شده، متراکم باشد، مانعی برای نفوذ اکسیژن می‌سازد، که پایا و چسبنده می‌باشد.

این رسوب به مثابة سدی بین فلز و محیط عمل نموده و باعث کندی و یا حتی توقف اکسیداسیون بیشتر می‌گردد. آلومینیوم بهترین مجموعه خواص مکانیکی را جهت تشکیل اکسید پایدار دارا می‌باشد. مثلاً یک انرژی آزاد تشکیل بالا آنچنانچه در جدول ۱ نشان داده شده و همچنین نرخ و دهندهای پایین که بوسیله نمایش ثابت‌های سرعت واکنش در شکل (۱) نمایش داده شده‌اند. به این جهت آلومینیوم به عنوان لایه پوشش سطحی انتخاب شده است. (Ref.I)

| Element | Oxide | $-\Delta G_f^\circ, \text{kJ/g Atom Oxygen}$ |
|---------|--------------------------------|--|
| Hf | HfO ₂ | 459.6 (Most Stable) |
| Al | Al ₂ O ₃ | 453.7 |
| Si | SiO ₂ | 348.9 |
| Ta | Ta ₂ O ₅ | 321.0 |
| Mo | MoO ₂ | 303.7 |

| | | |
|----|-------------------------|----------------------|
| Cr | Cr_2O_3 | 291.7 |
| W | WO_2 | 200.6 |
| Fe | FeO | 198.9 |
| Co | CoO | 163.2 |
| Ni | NiO | 150.3 (Least Stable) |

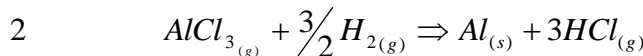
جدول ۱. انرژی آزاد استاندارد تشکیل در 272°C برای اکسید عناصری فلزی معمول در سوپر آلیاژها.



تصویر (۱) - نرخ سرعت رشد اکسیدی

پوشش‌های آلومینیم، تشکیل منبعی از آلومینیوم را می‌دهد که به عنوان یک لایه قربانی شونده، جهت محافظت سوپر آلیاژ عمل می‌نماید. محتوی آلومینیوم پوشش به علت Spallation پیوسته کا هش می‌یابد مثلاً اکسید آلومینیوم بصورت مکانیکی از سطح جدا شده و تشکیل دوباره رسوب اکسید آلومینیوم را می‌دهد: فرآیند تحلیل پوشش شامل یک سری از تبدیل فازها می‌شود تا وقتی که پوشش یا منبع آلومینیوم خالی شود و تشکیل اکسید نیکل از ماده اصلی که محافظت کمتری دارد، رخ دهد.

آلومینیوم به کمک یک فرآیند نفوذی کاشته می‌شود پوشش نفوذی آلومینیوم، شامل نفوذ داخلی بین آلومینیوم کاشته شده در سطح و عناصر شبیه نیکل، کروم، تنگستن و کربن از مواد اصلی و پایه‌ای نیکل می‌شود. روش CVD (کاشت بخارات شیمیایی) آلومینیوم، به

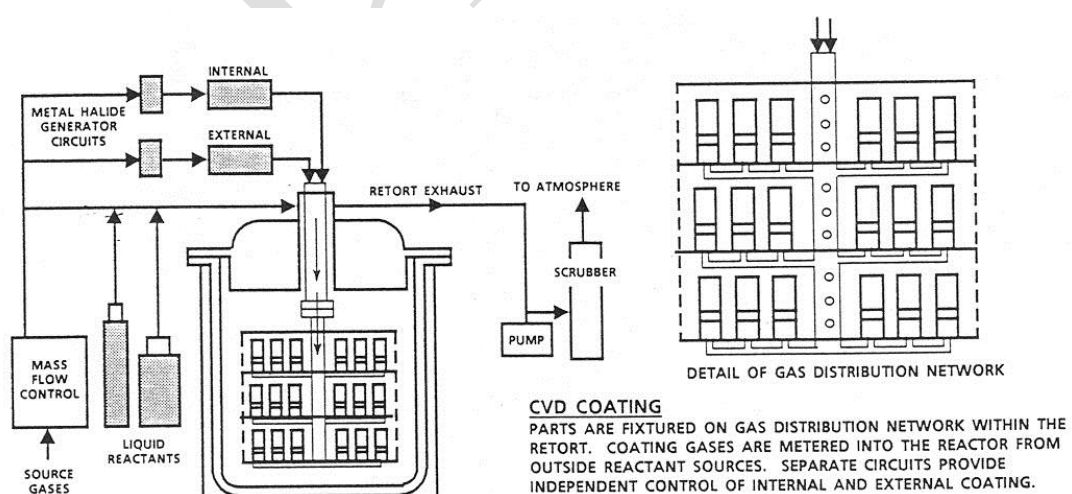


عنوان یک تکنیک جهت تشکیل پوشش آلومینید بر روی تیغه‌ها و فازهای یک توربین گازی، به کار رفته است و مواد واکنش دهنده گازی عموماً کلرید آلومینیوم و هیدروژن از سوی یک منبع خارجی به یک بخش پوشش دهی از پیش حرارت داده شده انتقال می‌شوند جایی که واکنشاتی :

در دمای نسبتاً بالای (بالاتر از 1000°C) رخ می‌دهند تا نیکل Al-Ni آلمینیوم یا آلمینیوم Al بر روی در سطح تشکیل شوند. فرآیند CVD آنچنانکه در شکل ۲ نمایش داده شده است باعث فراهم آوردن پوشش نفوذی خارجی با فعالیت پایین می‌باشد که در نتیجه یک پوشش دو لایه خارجی بوسیله یک لایه خارجی β (Al-Ni) نیکل-آلومینیوم تک فاز تولید می‌نماید.

به عنوان یک معیار جهت بهبود پایداری اکسید آلمینیوم یک لایه نازک پلاتینیوم پیش از آلمینید نمودن بر روی سطح کاشت الکتریکی می‌گردد پوشش حاصل یک لایه خارجی β (Al-Ni) از پلاتینیوم تولید می‌نماید. پلاتینیوم، نفوذ داخلی ما بین

آلومینیوم موجود در سطح و عناصر حاصل از مواد اصلی پایه نیکل را کاوش می‌دهد بنابراین (Al-Pt) رسوب آلمینیوم اکسید خالصتر و با رشد کمتری را شکل می‌دهد که بر خلاف یک آلمینید ساده چسبندگی رسوبی بیشتری دارد.



تصویر(۲) - نمای شماتیک پوشش دهی نوع CVD

آزمون و فرآیند :

نمونه های سوپر آلیاژ پایه نیکل CMSX-4 (جدول - ۲) قطر 1inch در ضخامت $\frac{1}{8}$ inch به کمک پوشش دهی تک فازی (Al-Pt) که توسط روش CVD اجرا شده پوشانیده شدند. آزمایش اکسید اسیون بر روی نمونه های تکراری در یک کوره القایی در دمای 982°C (1800°F) به مدت 3000 ساعت و در دمای 1149°C (2100°F) برای 100 ساعت انجام شدند. نیمه از نمونه های تکراری که توسط تیغه برشی آلومینیومی برش خوردند، جهت آنالیز برش مقطعی بر روی پایه های 1inch اپوکسی قرار گرفته و پولیش شدند. نمونه های باقی مانده دست نخورده نگهداری شدند تا سطح بالایی (Al-Pt) آنالیز شود. (SEM) جهت تصویربرداری میکروسکوپ الکترونی، اسپکتروسکوپی انتشار انرژی، تجزیه اشعه x (XRD) و آنالیزهای مایکروپراپ به منظور تعیین ریز ساختار ترکیب و فازهای موجود در شرایط پوشش دهی و اکسید اسیون ارائه گردیدند.

| Alloy | Ni | Co | Cr | Mo | W | Ta | Al | Ti | Hf | Re |
|--------|------|----|-----|-----|---|-----|-----|----|-----|----|
| CMSX-4 | bal. | 9 | 6.5 | 0.6 | 6 | 6.5 | 5.6 | 1 | 0.1 | 3 |

جدول (۲) - (درصد وزنی عنصری CMSX-4 کریستال منفرد آلیاژ پایه نیکل)

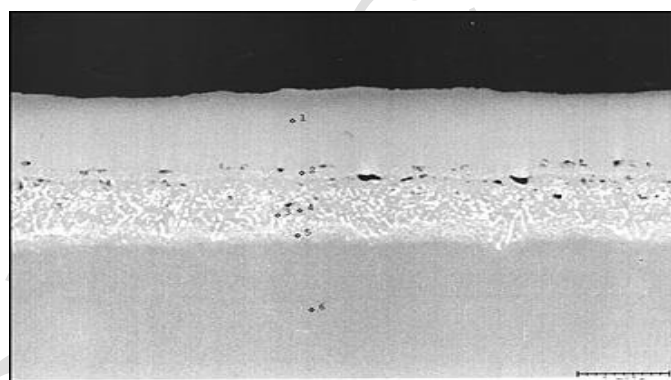
نتایج:

ریز ساختار:

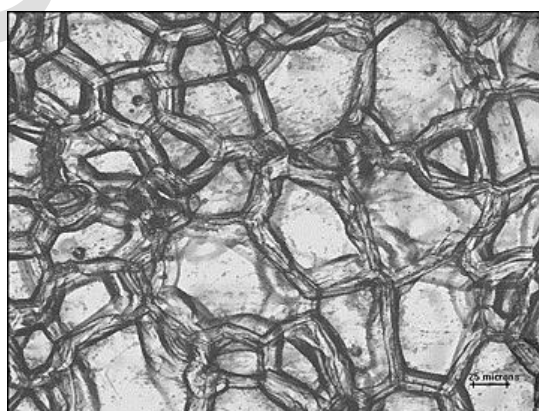
نمونه های پوشش داده شده از جهت ریز ساختار پوششی و ترکیب به کمک یک میکروسکوپ الکترونی ISISR-SO که مجهز به یک آنالیزگر انتشار انرژی اشعه X (EDXA) با تکنولوژی گاما پرنیستون

بود، بررسی گردیدند.

شکل ۳ یک عکس تصویربرداری شده الکترونی میباشد که ریز ساختار پوشش (Al-Pt) را روی آلیاژ CMSX-4 نشان میدهد و شامل یک پوشش تک فاز دو لایه ای میباشد. لایه خارجی ۲۵ تا ۳۰ میکرونی شامل یک فاز ماتریسی (Al-Pt) β غنی از پلاتینیوم میباشد. لایه دوم یک منطقه نفوذ با قابلیت تحمل حرارتی بالا با ضخامت ۲۵ میکرونی میباشد. پوشش حجم بالایی از ذرات کدر را در مرکز نمایش میدهد. این ذرات به عنوان ذرات دانه ای آلومینا شناسایی شدند که در آماده سازی نمونه به کار رفته اند. ضخامت پوشش ۵۰ تا ۵۵ میکرون بود. لایه بالایی پوشش آلومینید که با استفاده از روش CVD کاشته شد ستونی را تشکیل میدهد که به سمت خارج از سطح اصلی آلیاژ CMSX-4 رشد میکند (شکل ۴) پهناهای ستون تقریباً ۲۵ تا ۶۵ میکرون ضخامت با ۱۰ میکرون ضخامت ذرات مرزی میباشند جهت ترجیحی رشد ستونی بسته به متغیرهای فرآیند CVD شامل جهات <110>, <211> میباشد.



تصویر (۳) - ریز ساختار پوششی (Al-Pt) به عنوان پوشش



تصویر (۴) - سطح پوششی (Al-Pt) به عنوان پوشش

ترکیب:

ترکیب ترکیب پوشش در ۲۵ میکرون از لبه خارجی به کمک آنالیزهای کمی (EDXA) و تکنیکهای مایکروپراب اندازه‌گیری شد. اندازه‌گیریها در لایه خارجی صورت گرفتند چرا که این لایه منبعی از آلومینیوم را تشکیل می‌دهد که به صورت لایه قربانی شونده جهت محافظت از آلیاژ پایه نیکل CMSX-4 عمل می‌کند. آنالیزهای EDXA (جهت دستیابی به یک ترکیب کلی لایه بالایی که شامل همه عناصر می‌باشد استفاده گردید آنالیزهای مایکروپراب جهت تشخیص ترکیبات پلاتینیوم، آلومینیوم و نیکل در سطح پوشش و همچنین جهت تشخیص اثرات نفوذ حین فرآیند دما بالای CVD در هر ۵ میکرون انتخاب شدند. (جدول ۳)

ترکیبات لایه بالای پوشش Al.Pt

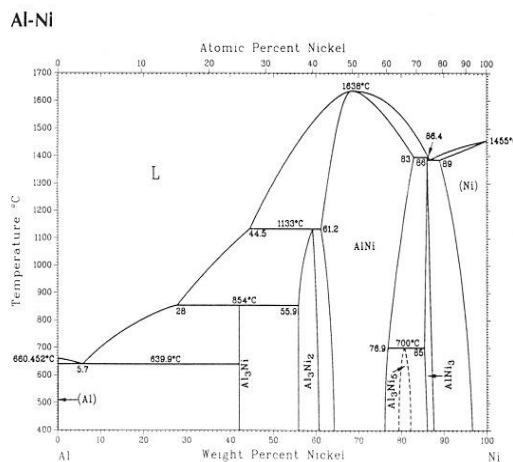
| μm from Surface | Microprobe Analysis (Weight %) | | | EDAX Analysis (Weight %) | | |
|-----------------|--------------------------------|------------|------------|--------------------------|-------------|-------------|
| | Nickel | Aluminum | Platinum | Nickel | Aluminum | Platinum |
| 0 | 54.6 | 36 | 9.4 | | | |
| 5 | 31.7 | 3.8 | 0 | | | |
| 10 | 36.4 | 4.8 | 0 | 49.2 | 20.8 | 26.4 |
| 15 | 39.4 | 5.5 | 0 | | | |
| 20 | 42.9 | 6.2 | 0 | | | |
| 25 | 45.1 | 6.7 | 0.1 | | | |

تصویر آشکار برخی اختلافها در اطلاعات مایکروپراب از ۵ تا ۲۵ میکرون وجود دارد. ریز ساختار لایه بالایی، آنچنان که در شکل ۳ مشاهده می‌شود. به طور واضح یک لایه تک فاز است. به هر حال، ترکیبات مایکروپراب بین سطح مورد مطالعه ۲۵ میکرون اولیه پوشش، بسیار فرق می‌کنند. براساس اطلاعات مقالات، انتظار

می‌رود که لایه بالایی یک فاز نیکل آلومنید غنی از پلاتینیوم باشد، همچنانکه ترکیب مایکروپراب روی سطح و ترکیب (EDAX) در عمق 10 میکرونی از سطح نشان می‌دهد. به علاوه آنالیز فاز دربخش بعدی، حضور فاز β (Al-Ni) را در سطح براساس تجزیه اشعه X (XRD) تایید می‌نماید. نمودار فاز دوگانه نیکل آلومینیوم (شکل ۵) ترکیب آلومینیوم را حدود ۱۷ تا ۳۹ درصد وزنی بود. β -Ni (Al-Ni) ارائه می‌نماید. این فاز در سرتاسر ترکیب مایکروپراب در سطح ۳۶٪ وزنی Al و ترکیب (EDAX)، ۱۰ میکرون پایین‌تر از سطح (20.8٪) وزنی Al تأیید شده است.

در جمع بندی، اعتبار اطلاعات ناشی از مایکروپراب از ۵ تا ۲۵ میکرون زیر سوال است و بنابراین فهم اثرات نفوذ در دماهای بالا از این اطلاعات قابل تعیین نمی‌باشد. در مورد دلائل زیر سوال بودن اطلاعات ناشی از مایکروپرابها، با جزئیات بیشتری در قسمت نتیجه گیری بحث خواهد گردید.

تصویر (۵): نمودار فاز دوگانه آلومینیوم- نیکل



P. Nash, M.F. Singleton, and J.L. Murray, 1991

| Phase | Composition, wt% Ni | Pearson symbol | Space group |
|----------------------------------|---------------------|----------------|---------------|
| (Al) | 0 to 0.24 | cF4 | Fm $\bar{3}m$ |
| Al ₃ Ni | 42 | oP16 | Pnma |
| Al ₅ Ni ₂ | 55.9 to 60.7 | hP5 | P3m1 |
| AlNi | 61 to 83.0 | cP2 | Pm $\bar{3}m$ |
| Al ₁₃ Ni ₅ | 79 to -82 | ... | Cnnmm |
| AlNi ₃ | 85 to 87 | cP4 | Pm $\bar{3}m$ |
| (Ni) | 89.0 to 100 | cF4 | Fm $\bar{3}m$ |

آنالیز فاز:

فاز موجود در سطح پوشش (Al-Pt) توسط تجزیه اشعه X (XRD) تعیین گردید. علاوه بر ساختمان فاز، پارامتر شبکه (a) براساس پیکهای تجزیه اشعه X تعیین گردید. به علت پیچیدگی اطلاعات یافته شده برای پوشش Al-Pt مطالعه بنیانی بر روی پوشش YttriaStabilizedZirconia با نتایج نشان داده شده در ضمیمه ۱ ترتیب داده شد. به علاوه مطالعه‌ای نیز بر روی سطح پوشش (Pt-Al) با نتایج موجود در ضمیمه ۲ انجام گردید. سطح پوشش

تعیین گردید که در توافق جالب توجه بود که پیکهای 100 و 200 و 210 و 300 تجزیه اشعة X سطح پوششی مشاهده شدند؛ دلیل آن رشد پوشش در یک ساختار ستونی در جهات $<110>$, $<211>$ میباشد، آنچنانکه در شکل ۴ دیده میشود (RefG). بنابراین پیکهای 300, 210, 200, 100 قابلیت تولید در گوشه های کریستال از سطح پوششی را نداشتند.

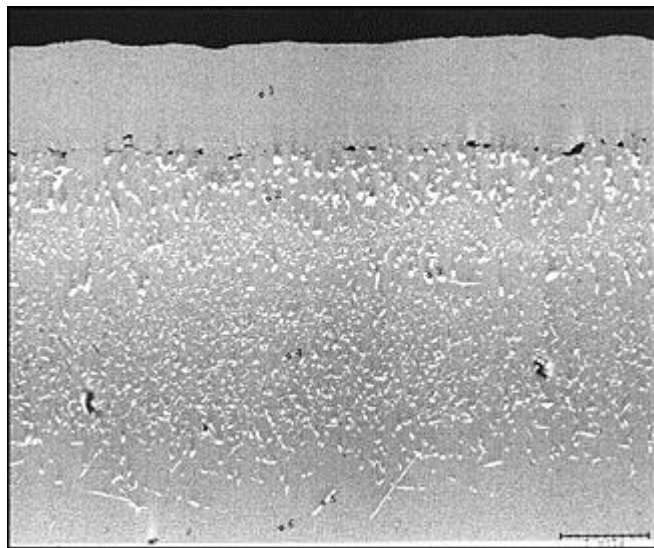
آزمایشات اکسید اسیون:

ریز ساختار:

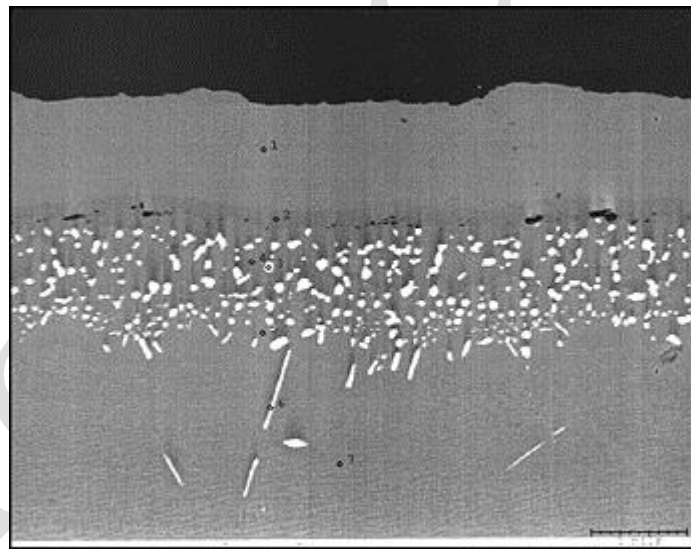
آزمایش اکسید اسیون در 982 (1800) برای 3000 ساعت و 1149 (2100) برای 100 ساعت در یک کوره القایی با اتمسفر ثابت بر روی آلیاژ CMSX-4 (پوشش داده شده Al-Pt) ترتیب داده شدند. در هر دو آزمون، پوشش؛ یک لایه β (Al-Ni) را بر روی سطح پوششی نگاهداشت. شکلهای ۶ و ۷ عکس های الکترونی تصویر برداری شده هستند که ریز ساختار پوشش (Al-Pt) را پس از 982(1800) برای 3000 ساعت و 1149 (2100) برای 100 ساعت نشان می دهند. هر دو آزمایش اکسید اسیون تک فاز با دو لایه پوششی تولید نمودند که در آن لایه 25 تا 30 میکرونی خارجی شامل یک ماتریس تک فاز β (Al-Ni) غنی از پلاتینیوم میشود. لایه دوم منطقه نفوذ با قابلیت تحمل حرارتی بالا است که پس از 982 (1800) در 3000 ساعت، 75 میکرون (تصویر ۶) و پس از 1149 (2100) به مدت 100 ساعت 30 میکرون است، (Fig7).

پوششها حجم بالایی از ذرات کدر را در مرکز نشان می دهند این توده ها به عنوان ذرات ریز آلومینا شناسایی شدند که در تهیه نمونه ها استفاده گردید. پوشش، فقط حداقل ضخامت رشد را به علت نفوذ، پس از ۱۱۴۹ (2100) ۰f در ۱۰۰ ساعت آزمایش نشان داد. در هر حال، پس از آزمایش 982 (1800) برای 3000 ساعت، تاثیر مدت زمان و دمای آزمایش میباشد. رشد بیشتر ضخامت حتی در دمای پایینتر آزمایش نیز با افزایش زمان آزمایش قابل دستیابی میباشد.

تصویر (۶) - ریز ساختار پوشش (Al-Pt) پس از ۳۰۰۰ ساعت در ۹۸۲ درجه سانتیگراد



تصویر (۷) - ریز ساختار پوشش (Al-Pt) پس از ۱۰۰ ساعت در ۱۱۴۹ درجه سانتیگراد



ترکیب:

ترکیب پوشش ، در فاصله 10 میکرون از سطح ، توسط روش آزمایش کمی (EDXA) اندازه گیری گردید. اندازه گیریها برای نمونه های اکسید شده و پوشش داده شده در مناطق یکسانی انجام گردیدند. (جدول ۴) واضح بود که (Al-Pt) پس از ظهور اکسید اسیون کا هش یابد. میزان آلومینیوم پوشش، به علت پوسته پوسته شدن متوالی و تشکیل رسوب آلومینا کا هش می یابد بدین صورت که آلومینیوم بصورت

مکانیکی از روی سطح برداشته شده و رسوب آلومینا مجدداً تشکیل می‌گردد . میزان پلاتینیوم به علت نفوذ داخلی اضافی با آلیاژ نیکل کا هش یافت به منظور تعیین حضور فاز دو گانه آنچنانکه در شکل ۵ نشان داده شده، غلظتهاي Al-Ni قابل بردن یابی تا ۱۰۰% می‌باشد. هر دو نمونه اکسیداسیون، یک فاز β (Al-Ni) تشکیل می‌دهند ۱۷) تا ۳۹ درصد وزنی Al)، تحت شرایط ۹۸۲ ، ۳۰۰۰ ساعت و ۱۱۹۴ به مدت ۱۰۰ ساعت، نمونه دارای ۲۵.۰, ۲۲.۲ درصد وزنی آلومینیوم می‌باشد.

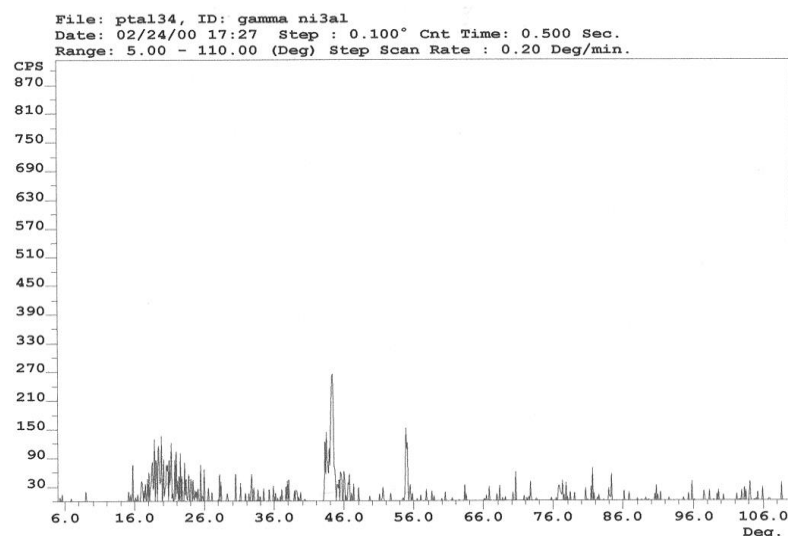
جدول (۴) - ترکیب پوشش (Al.Pt) پس از آزمایش‌های اکسیداسیون

| Test Condition | Nickel (wt.%) | Aluminum (wt.%) | Platinum (wt.%) |
|-----------------------------|---------------|-----------------|-----------------|
| As-Coated | 42.9 | 20.8 | 26.4 |
| 982°C (1800°F) / 3000 hours | 55.4 | 15.8 | 16.4 |
| 1194°C (2100°F) / 100 hours | 59.3 | 15.3 | 16.1 |

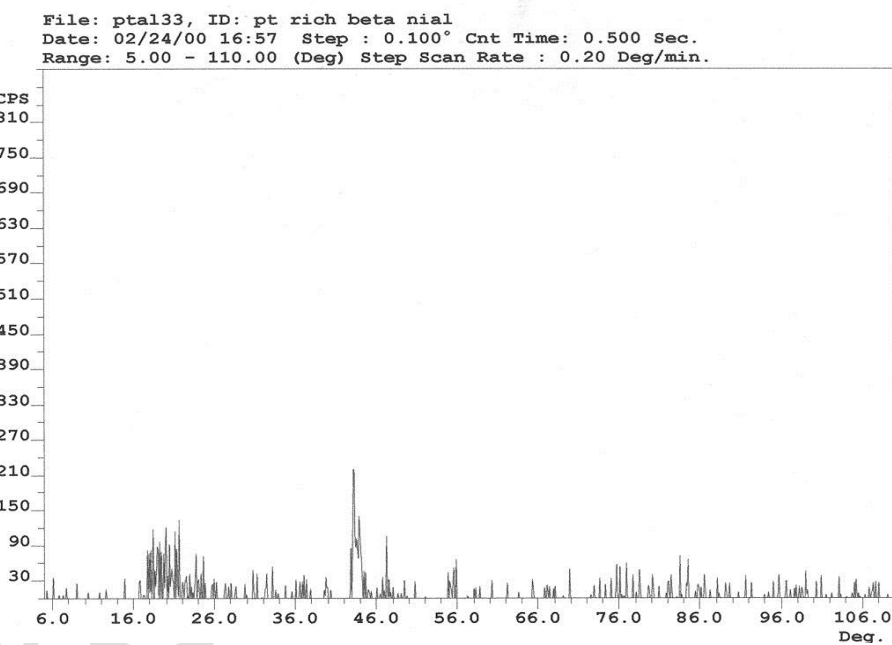
آنالیزهای فازی:

فاز موجود در سطح پوشش (Pt-Al) بعد از ۹۸۲°C و ۳۰۰۰ ساعت و ۱۱۹۴°C و ۱۰۰ ساعت آزمایش اکسیداسیون، توسط تجزیه اشعه X تعیین گردید. (شکل ۸). پیکهای تجزیه اشعه X (XRD) پس از آزمایش اکسیداسیون میزان خیلی کمی را (کمتر از ۳۰۰ Cycle/sec) به علت نفوذ داخلی بین پوشش و آلیاژ نشان داد. تنها ۲ تا ۳ پیک قابل دستیابی و تشخیص می‌باشند. به هر حال این پیکها با پیک اولیه ۱۱۰-۱۱۱) که در نمونه پوشش داده شده یافت می‌شود، مطابق است. بنابراین سطح پوشش (Pt-Al) تشخیص داده شد که یک فاز β (Al-Ni) (مکعبی ساده) باشد که مطابق با ترکیب می‌باشد. (شکل ۸)

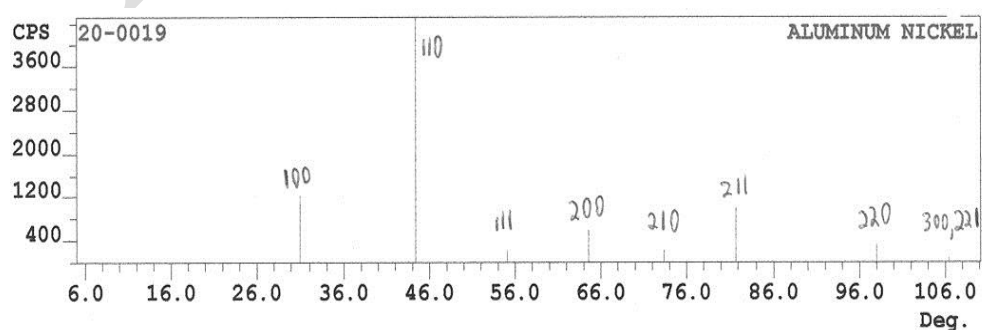
تصویر (۸) الف: سطح پوشش Al.Pt پس از ۹۸۲ °C / ۳۰۰۰ ساعت



تصویر (۸) ب : سطح پوشش پس از ۱۰۰ °C / ۱۱۹۴ ساعت



تصویر (۸) ج : Al-Ni PDF card



جمع بندی و نتیجه گیری:

در این تحقیق تصویر برداری میکرو سکوپ الکترونی با قابلیت (EDAX)، تجزیه اشعه X (XRD) و تکنیکهای مایکروراب استفاده گردید. فازها و ترکیبات پوشش (Al-Pt) را در لایه بالایی غنی از آلومینیوم، پیش از آزمایش اکسیداسیون و پس از آزمایش اکسید اسیون تعیین نماید، در حالیکه نتایج در برخی موارد محدود بودند، هنوز هم اطلاعات کافی وجود داشت تا اینگونه نتیجه گیری شود که لایه بالایی پوشش یک فاز β (Al-Ni) غنی از پلاتینیوم است.

آنالیزهای مایکروراب انتخاب گردید تا ترکیبات Al و Ni و Pt را در سطح پوشش و هر میکرون از سطح را تعیین نماید تا اثرات انتشار حین فرآیند دما بالای CVD را مشخص کند. متاسفانه آنالیزهای مایکروراب، نتایج پرسش بر انگلیزی را ایجاد نمودند. نتایج پرسش بر انگلیز بدلایل زیادی بوجود آمدند. مقادیر خوانده شده توسط مایکروراب در سطح نمونه پوشش داده شده نتایج قابل ملاحظه ای را نشان داد. این قرائت سطحی با استفاده از یک میله با نوک ۱۰۰ میکرونی که به تعداد کافی ۱۰۰۰ تا ۱۰۰۰۰ شمارش را حاصل نمودند، امتحان گردید. اندازه نوک میله به ۲ میکرون کا هش داده شد تا نمونه را در برش مقطعی بررسی نماید و این کار مقادیر را به حدود ۰ تا ۳۰۰ مرتبه کاهش داد. با افزایش زمان آزمایش، تعداد کافی مقادیر جهت ارائه نتایج بهتر، قابل دستیابی شده است. به علاوه میله کوچکتر تمایل به انحراف پیدا نمود که اندازه گیری در یک بخش مختلف نمونه را ایجاد نمود، نهایتاً، اگر استاندارهای (Al-Ni) غنی از Pt ایجاد می شدند، در مقایسه با استانداردهای عنصری Al,Ni,Pt، نتایج دقیقترا را ممکن بود ارائه دهد.

در خاتمه، برداشن موثری از ویژگیهای تکنیکهای مختلف بدست آمد. تصویر برداری میکروسکوپ الکترونی با قابلیت EDAX، ابزاری پیشرفته جهت تعیین ریز ساختار پوشش بوده و آنالیزهای ترکیبی کیفی قابل توجیهی را ارائه میکند. مایکروراب جهت دستیابی به آنالیزهای ترکیبی کیفی خیلی دقیق استفاده شده است. تجزیه اشعه X (XRD) تکنیک بسیار قوی میباشد که نه تنها حضور فازها را تعیین میکند، بلکه جهت تعیین ساختارهای کریستالی پارامتر شبکه نیز به همان خوبی بکار میرود.

مِنَابِع (References) :

1. Petit, F.S. and Meier, G.H., 1984, "Oxidation and Hot Corrosion of Superalloys," Proceedings, Fifth International Symposium on Superalloys, The metallurgical Society of AIME, Seven Springs, Pennsylvania, pp. 651-687.
2. Goward, G.W., Boone, D.H., 1971, "Mechanisms of Formation of Diffusion Aluminide Coatings on Nickel Base Superalloys," ASM Transactions, Vol. 60, pp. 228-241.
3. Smith, J.S. and Boone, D.H., 1990, "Platinum Modified Aluminides – Present Status," Paper No. 90-GT-319 presented at the Gas Turbine and Aeroengine Congress and Exposition, Brussels, Belgium.
4. Erickson, G.L., 1995, "A New, Third-Generation, Single-Crystal, Casting Superalloy, Journal of Metals, vol. 47, No. 4, pp. 36-39.
5. Alloy Phase Diagrams, Vol. 3, ASM International, 1992, Sec. 2, Pg. 49.
6. Lee, W, April 1998, "Formation of Grain Boundary in Diffusion Beta Nickel Aluminide Coatings by CVD." Presented at the AGTSR's Metallic Coatings Specialty Workshop, Stevens Institute of Technology, Hoboken, New Jersey.
7. Arrhenius, G., Lecture Notes from Solids in Nature - MATS 290, University of California, San Diego, Winter Quarter 2000.